

Determining the Optimal Hedge Ratio of Gold Coin Futures; A Comparative Approach

Seyed Babak Ebrahimi^{1*}, Ali Tasbihi²

1- Assistant Professor at the Department of Financial Engineering, Faculty of Industrial Engineering K.N.Toosi University of Technology, Tehran,Iran

b_ebrahimi@kntu.ac.ir

2- MSc Student, Department of Financial Engineering, Faculty of Industrial Engineering K.N.Toosi University of Technology, Tehran, Iran

atabihi@mail.kntu.ac.ir

Abstract

The aim of this study is to calculate the optimal hedge ratio of gold coin future contrasts with different econometric methods and compare their hedging effectiveness with each other. Used models are OLS, VAR and VECM that estimate the hedge ratio to be static over the time and multivariate GARCH models that estimate the hedge ratio to be vary over the time. The studied time period was from Tuesday, November 25, 2008 to Monday, June 01, 2015 and we have used the future and spot prices of gold coin in this period. To increase the correlation between future and spot returns we have calculated the optimal hedge ratio with weekly returns in addition to daily returns. Finally, the comparisons show that the use of multivariate GARCH models leads to better performance in daily returns but in weekly returns, static models have better results.

Keywords: Hedge ratio, Minimum variance, Future contracts, Hedge effectiveness, Multivariate GARCH models.

تعیین نسبت بهینه پوشش ریسک قراردادهای آتی سکه: رهیافت مقایسه‌ای

سید بابک ابراهیمی^{۱*}، علی تسبیحی^۲

۱- استادیار، دانشگاه صنعتی خواجه نصیرالدین طوسی، دانشکده مهندسی صنایع، گروه مهندسی مالی

b_Ebrahimi@kntu.ac.ir

۲- دانشجوی کارشناسی ارشد مهندسی مالی، دانشگاه صنعتی خواجه نصیرالدین طوسی، دانشکده مهندسی صنایع، گروه مهندسی مالی

atabihi@mail.kntu.ac.ir

چکیده

هدف این پژوهش، محاسبه نسبت بهینه پوشش ریسک قرارداد آتی سکه بهار آزادی با استفاده از روش‌های مختلف اقتصادسنجی و مقایسه کارایی نتایج آنها با یکدیگر است. الگوهای استفاده شده عبارت است از OLS، VAR، VECM که نسبت بهینه پوشش ریسک را به صورت ایستا و ثابت در طول زمان تخمین می‌زنند و الگوهای چندمتغیره گارچ شامل DCC-GARCH، CCC-GARCH، DCC-GARCH انگل و Tz و تو سو است که نسبت بهینه پوشش ریسک را به صورت متغیر در طول زمان تخمین می‌زنند. دوره زمانی مذکور از تاریخ ۱۳۸۷/۰۹/۰۵ تا ۱۳۹۶/۰۳/۱۱ است و در این بازه از قیمت‌های نقدی و آتی سکه بهار آزادی استفاده شده است. برای افزایش همبستگی بین بازده‌های آتی و نقدی در محاسبه نسبت بهینه پوشش ریسک علاوه بر بازده روزانه از بازده هفتگی نیز استفاده شده است. در نهایت، مقایسه معیار کارایی برای الگوهای مختلف نشان می‌دهد استفاده از الگوهای چندمتغیره گارچ در بازده‌های روزانه، عملکرد بهتری دارد؛ اما در بازده‌های هفتگی این الگوهای کارایی بیشتری نسبت به الگوهای ایستا نمی‌تواند حاصل کنند.

واژه‌های کلیدی: حداقل واریانس، قرارداد آتی سکه، کارایی پوشش ریسک، نسبت بهینه پوشش ریسک، MGARCH

مقدمه

ریسک نرخ بهره، ریسک سهام و غیره می‌توان اشاره کرد. قرارداد آتی، توافق نامه‌ای مبنی بر خرید و فروش یک دارایی در زمان معین در آینده و با قیمت مشخص است؛ به عبارت دیگر، در بازار آتی، خرید و فروش دارایی پایه قرارداد براساس توافق نامه‌ای انجام می‌شود که به قرارداد استاندارد تبدیل شده است و در آن به دارایی با مشخصات خاصی اشاره می‌شود. در این حالت، چنانچه فرد به هر دلیلی، کاهش قیمت را نامطلوب بداند، در بازار معاملات آتی، موقعیت فروش را باید اتخاذ کند که در آن صورت، مقدار معینی از دارایی پایه را در آینده با قیمت مشخص باید به خریدار تحویل دهد. دو طرف قرارداد آتی به طور معمول به دو گروه پوشش‌دهندگان ریسک و سفته‌بازان تقسیم می‌شوند. پوشش‌دهندگان ریسک از مواجه شدن با تغییرات نامطلوب قیمت دارایی‌ها پرهیز می‌کنند و می‌کوشند ریسک حاصل از نوسان قیمت را به حداقل برسانند؛ در حالی که سفته‌بازان به استقبال ریسک می‌روند. نقش سفته‌بازان به عهده گرفتن ریسکی است که پوشش‌دهندگان نمی‌خواهند آن را به عهده بگیرند. اشخاصی که نوسان قیمت برای آنها نامطلوب است، با بهره‌گیری از قرارداد آتی، استراتژی‌های متعددی را برای پوشش ریسک می‌توانند اتخاذ کنند. یک استراتژی به ظاهر مناسب این است که فرد به میزان دارایی‌ای که قصد پوشش ریسک نوسان قیمت آن را دارد، موقعیت تعهدی در بازار قرارداد آتی اتخاذ کند که به آن استراتژی پوشش ریسک ساده گفته می‌شود. مطالعات متعدد نشان می‌دهد این استراتژی برای پوشش ریسک لزوماً کارآمد نیست؛ زیرا استراتژی پوشش ریسک ساده نسبت پوشش ریسک^۴ را یک در نظر

سکه بهار آزادی یکی از مسکوکات طلای قانونی در جمهوری اسلامی ایران است که در مقایسه با سایر دارایی‌ها (نظیر املاک و مستغلات) خاصیت نقدشوندگی بسیار زیادی دارد؛ از این‌رو، ریسک ناشی از نوسان‌های قیمت سکه طلا از جمله مقولاتی است که ذهن بسیاری از فعالان اقتصادی این حوزه را به خود مشغول کرده است. به دلیل نوع دارایی از لحاظ سرمایه‌ای (غیر مصرفی) بودن و به تبع آن، نوسان ذاتی قیمت دارایی‌های سرمایه‌ای (به دلیل فعالیت‌های سفته‌بازی بر آن) و نیز ارتباط مستقیم قیمت سکه با چندین مؤلفه به شدت متغیر مانند قیمت جهانی طلا، نرخ ارز، سیاست‌های کنترل بازار بانک مرکزی، بازده بازارهای رقیب و عوامل دیگر، این کالا همواره نوسان قیمت در خور توجهی دارد و لزوم به کارگیری استراتژی برای پوشش نوسان‌های قیمت آن، روزبه روز بیشتر احساس می‌شود. ابزارهای مالی مختلفی مانند بیمه‌نامه، قرارداد تحویل آینده (سلف)، قراردادهای سوپا^۱، قراردادهای اختیار معامله^۲ و همچنین قراردادهای آتی^۳ برای رسیدن به هدف کاهش رویارویی با ریسک استفاده می‌شوند. در این میان، مشتقات مالی، نقش ویژه‌ای در تعیین استراتژی پوشش ریسک ایفا می‌کنند. از جمله مشتقهای مالی که در این زمینه کاربرد دارند، قراردادهای آتی و قراردادهای اختیار معامله و قراردادهای سلف هستند. در این میان، ساده‌ترین و مشهورترین ابزار پوشش ریسک، استفاده از قرارداد آتی است. ریسک‌های مختلفی را با استفاده از قرارداد آتی می‌توان کاهش داد که از آن جمله به ریسک کالا، ریسک اعتباری، ریسک نرخ ارز،

1 Swap

2 Option

3 Futures

الگویی با فرض حذف فرصت‌های آریترائز را بررسی کردند [۱۴]. بولرسلو^۸ (۱۹۸۶) الگوی گارچ^۹ را برای براساس ویژگی دسته‌بندی نوسان‌های سری‌های زمانی مالی در طول زمان ارائه کرد [۲]. تا پیش از معرفی این روش‌ها، نسبت پوشش ریسک به صورت یک مقدار ثابت و ایستاده طول دوره پوشش ریسک در نظر گرفته می‌شد. بیلی و می‌یرز^{۱۰} (۱۹۹۱) نسبت بهینه پوشش ریسک را برای شش کالا در ایالات متحده با استفاده از الگوی گارچ دو متغیره محاسبه کردند [۱]. آنها برای نخستین بار، نسبت بهینه پوشش ریسک را به صورت متغیر با زمان در نظر گرفتند. گوش^{۱۱}

(۱۹۹۳a) الگوی حداقل مربعات معمولی را با الگوی تصحیح خطأ^{۱۲} با استفاده از داده‌های شاخص‌های علاوه بر آن، گوش (۱۹۹۳b) استراتژی‌های پوشش ریسک را در بازارهای فرانسه، بریتانیا، آلمان و ژاپن بررسی کرد و نتیجه گرفت نتایج به دست آمده با استفاده OLS از الگوی تصحیح خطأ بهتر از نتایج الگوی هستند [۱۰]. پارک و سویترز^{۱۳} (۱۹۹۵) قرارداد آتی شاخص‌های ۵۰۰ S&P و ۳۵ Toronto را بررسی کردند [۲۰]. نتایج این مطالعات نشان‌دهنده برتری الگوهایی است که نسبت پوشش ریسک را به صورت متغیر با زمان محاسبه می‌کند. در مقابل، بیستروم^{۱۴} (۲۰۰۳)، لین و همکاران^{۱۵} (۲۰۰۲)، موسا^{۱۶} (۲۰۰۳)، کوپلند و ژو^{۱۷} (۲۰۱۰) [۵] و تعدادی از

می‌گیرد که در تمام شرایط بهینه نیست. نسبت بهینه پوشش ریسک عبارت است از نسبت حجم موضع معاملاتی قراردادهای آتی به مقدار ریسکی که در معرض آن است؛ به عبارت دیگر، نسبت بهینه پوشش ریسک، تعیین کننده تعداد قراردادهای آتی است که فرد باید برای مقابله با نوسان قیمت‌ها در برابر یک قرارداد نقدی نگهداری کند. اکنون، پرسشی که پیش می‌آید این است که از چه تعداد قرارداد آتی برای پوشش ریسک نوسان‌های قیمت سکه باید استفاده شود.

مبانی نظری

نسبت بهینه پوشش ریسک را در سال ۱۹۶۰ برای نخستین بار، جانسون^۱ براساس نظریه نوین سبد سرمایه‌گذاری با معیار حداقل ریسک معرفی کرد [۱۳]. ادرینگتون^۲ (۱۹۷۹) اولین کسی بود که از روش حداقل مربعات معمولی^۳ برای تخمین نسبت بهینه پوشش ریسک با استفاده از قیمت‌های قرارداد آتی استفاده کرد [۶]. کاهل و تومک^۴ (۱۹۸۳) از روش میانگین واریانس^۵ برای ایجاد توازن بین بازده و ریسک، استفاده کردند [۱۵]. هاوارد و آنتونیو^۶ (۱۹۸۴) نسبت بهینه پوشش ریسک شارپ را معرفی کردند [۱۱]. آنها با هدف حداکثر کردن تابع مطلوبیت به جای حداقل کردن ریسک موفق به محاسبه نسبت بهینه پوشش ریسک شدند. جانکوس و لی^۷ (۱۹۸۵) کاربرد چهار روش مختلف پوشش ریسک شامل حداکثرسازی سود، حداقل‌سازی واریانس، حداکثرسازی مطلوبیت و

8 Bollerslev

9 Generalized AutoRegressive Conditional Heteroskedasticity (GARCH)

10 Baillie and Myers

11 Ghosh

12 Error Correction Model (ECM)

13 Park and Switzer

14 Byström

15 Lien et al

16 Moosa

17 Copeland and Zhu

1 Johnson

2 Ederington

3 Ordinary Least Square (OLS)

4 Kahl and Tomek

5 Mean variance (MV)

6 Howard and D. Antonio

7 Junkus and Lee

بین پژوهشگران وجود ندارد. لین و همکاران^۵ (۲۰۱۶) اثربخشی نسبت بهینه پوشش ریسک ۲۰ کالا مختلف را بررسی کردند [۱۶]. پژوهش آنها نشان داد در استفاده از داده‌های روزانه، نسبت پوشش ریسک مناسب با توزیع بازده نقدی کالاها تغییر می‌کند.

برای استخراج نسبت بهینه پوشش ریسک درابتدا، باید یک تابع هدف، معرفی و با بهینه کردن آن نسبت بهینه پوشش ریسک استخراج شود. براساس این، نسبت بهینه پوشش ریسک به دو گروه اصلی روش‌های حداقل کننده ریسک و روش‌های حداکثر کننده مطلوبیت تقسیم‌بندی می‌شود. در روش‌های حداقل کننده ریسک نسبت پوشش ریسک با تعریف یک معیار برای اندازه‌گیری ریسک و حداقل کردن آن استخراج می‌شود. معیارهای مختلفی برای اندازه‌گیری ریسک وجود دارد که از جمله آنها واریانس، ارزش در معرض ریسک^۶، ضریب جینی تعییم‌یافته نسبت به میانگین^۷ و شبه تعییم‌یافته^۸ را می‌توان نام برد که با حداقل کردن آن نسبت پوشش ریسک به دست می‌آید. محدودیت اصلی روش‌های حداقل کننده ریسک این است که بازده مدل‌تئزی را نادیده می‌گیرند؛ اما واقعیت این است که در سبد دارایی علاوه بر ریسک باید به بازده نیز توجه کرد. روش‌های حداکثر کننده به مطلوبیت ریسک و بازده سبد دارایی به طور هم‌زمان توجه می‌کنند. از مهم‌ترین روش‌های حداکثر کننده مطلوبیت به نسبت شارپ^۹، روش میانگین-واریانس، ضریب میانگین-MEG^{۱۰} و میانگین-GSV^{۱۱} و روش حداکثر مطلوبیت مدل‌تئزی می‌توان اشاره کرد.

منتقدان معتقد بودند محاسبه نسبت پوشش ریسک از روش OLS نسبت به روش‌های پیچیده‌تر برتری دارد. آنها همچنین به این نکته اشاره کردند که از منظر هزینه و فایده، روش‌های پیچیده متغیر با زمان به دلیل تحمیل هزینهٔ معاملاتی اضافی با کاهش کارایی مواجه می‌شوند. وانگ و سو^{۱۲} (۲۰۱۰) ثبات نسبت بهینه پوشش ریسک را برای شاخص سهام کشورهای ژاپن، هنگ کنگ و کره برای دوره زمانی بحران مالی و پیش از آن محاسبه کردند [۲۵]. کریشان^{۱۳} (۲۰۱۱) کارایی پوشش ریسک را برای قرارداد آتی شاخص‌های S&P500 و Nifty محاسبه کردند [۲۱]. وانگ^{۱۴} و همکاران (۲۰۱۴) روش نسبت پوشش ریسک حداقل کننده واریانس روند زدایی شده را ارائه کردند که توانایی اندازه‌گیری نسبت بهینه پوشش ریسک را در بازه‌های مختلف زمانی دارد [۲۴]. مشاهدات آنها نشان می‌دهد نسبت پوشش ریسک محاسبه شده و کارایی پوشش ریسک مرتبط با آن در بازه‌های مختلف زمانی متفاوت است که این ویژگی می‌تواند پاسخگوی نیاز افراد با افق سرمایه‌گذاری متفاوت باشد. ژو^{۱۵} (۲۰۱۵) نسبت پوشش ریسک را برای شاخص صندوق سرمایه‌گذاری مستغلات در چهار کشور توسعه یافته (استرالیا، اروپا، ژاپن و ایالات متحده) محاسبه کرد [۲۶]. نتایج تحلیل برون‌نمونه‌ای نشان داد در محاسبه نسبت پوشش ریسک، روش‌های پیچیده متغیر بازمان مانند روش‌های گارچ چندمتغیره لزوماً به نتایج بهتر در مقابل روش‌های ایستا منجر می‌شوند. درنهایت، نظر واحدی مبنی بر برتری یکی از روش‌های محاسبه نسبت پوشش ریسک

5 Lien et al

6 Value at Risk (VaR)

7 Mean Extended-Gini (MEG)

8 Generalized Semivariance (GSV)

9 Sharpe Ratio

10 Mean-MEG (M_MEG)

11 Mean-GSV (M_GSV)

1 Wang and Hsu

2 Krishan

3 Wang

4 Zhou

جدول (۱) روش‌های مختلف آماری محاسبه نسبت پوشش ریسک

تابع هدف	نسبت پوشش ریسک
Minimize R_h	نسبت پوشش ریسک حداقل کننده واریانس MV
Maximize $E(R_h) - \frac{A}{2}Var(R_h)$	نسبت پوشش ریسک میانگین واریانس بهینه
Maximize $\frac{E(R_h) - R_f}{\sqrt{Var(R_h)}}$	نسبت بهینه پوشش ریسک نسبت شارپ
Maximize $E[U(W_i)]$	نسبت پوشش ریسک حداکثر مطلوبیت مذکور
Minimize $\Gamma_v(R_h v)$	نسبت پوشش ریسک ضریب جینی تعمیم یافته به میانگین MEG
Maximize $E(R_h) - \Gamma_v(R_h v)$	نسبت پوشش ریسک حداکثر M-MEG
Minimize $V_{\delta,\alpha}(R_h)$	نسبت پوشش ریسک حداقل شبه واریانس تعمیم یافته GSV
Maximize $E(R_h) - V_{\delta,\alpha}(R_h)$	نسبت پوشش ریسک حداکثر M-GSV
Minimize $Z_\alpha \sigma_\alpha \sqrt{\tau} - E(R_h \tau)$	نسبت پوشش ریسک حداقل VaR در یک دوره زمانی معین

سرمایه‌گذاری را در طول زمان به حداقل رساند [۶]. بر این اساس، نسبت بهینه پوشش ریسک با کمترین واریانس را می‌توان ایجاد کرد که به عنوان نسبت بهینه پوشش ریسک حداقل کننده واریانس شناخته شده و رابطه آن به شرح زیر استخراج می‌شود:

ابتدا نرخ بازده R_s در بازار نقدی در طول دوره زمانی t_0 تا t_1 را به صورت رابطه (۱) می‌توان بیان کرد:

$$R_s = \frac{S_{t_1} - S_{t_0}}{S_{t_0}} \quad (1)$$

که در آن S_{t_0} و S_{t_1} نشان‌دهنده ارزش دارایی در بازار نقدی به ترتیب در زمان‌های t_0 و t_1 هستند. همچنین نرخ بازده R_f در بازار قراردادهای آتی برای دوره زمانی مشابه به شکل رابطه (۲) است:

$$R_f = \frac{F_{t_1} - F_{t_0}}{F_{t_0}} \quad (2)$$

که در آن F_{t_0} و F_{t_1} نشان‌دهنده ارزش دارایی در بازار قراردادهای آتی به ترتیب در زمان‌های t_0 و t_1 هستند. اگر R_h بازده سبدی شامل موضع معاملاتی

در میان روش‌های محاسبه نسبت پوشش ریسک، نسبت پوشش ریسک حداقل کننده واریانس^۱ به دلیل سادگی و قابل فهم بودن، هم از جنبه نظری و هم از بعد مطالعاتی از سایر روش‌ها مرسوم‌تر است. نسبت پوشش ریسک حداقل کننده واریانس، جزء روش‌های حداقل کننده ریسک است و بازده مذکور سبد را در نظر نمی‌گیرد. همچنین در این روش فرض می‌شود بازده قیمت‌های آتی و نقدی، تابع توزیع نرمال دارد و سرمایه‌گذاران نیز تابع مطلوبیت درجه دوم دارند. این روش را نخستین بار، جانسون در سال ۱۹۶۰ به صورت نظری استخراج [۱۳] و در سال ۱۹۷۹ ادرينگتون این نسبت را با استفاده از قیمت‌های هفتگی قرارداد آتی به صورت تجربی برآورد کرد [۶].

روش پژوهش

براساس نظریه پوشش ریسک سبد سرمایه‌گذاری، ادرينگتون (۱۹۷۹) تاکید می‌کند برای دستیابی به هدف پوشش ریسک باید واریانس ارزش سبد

1 Minimum-variance (MV)

برداری^۱ (VAR) و الگوی تصحیح خطای برداری^۲ (VECM)

روش تخمین نسبت بهینه پوشش ریسک
حداکثر کننده واریانس شامل رگرسیون تغییرات قیمت
نسبت به روی تغییرات قیمت آتی با استفاده از روش
حداکثر مربعات معمولی (جانکوس ولی ۱۹۸۵) است
[۱۴]. به طور مشخص، معادله رگرسیون آن به شکل
رابطه (۹) است:

$$\ln S_t = \ln F_t + \epsilon_t \quad (9)$$

$$h^* = \frac{\text{Cov}(\ln S_t, \ln F_t)}{\text{Var}(\ln F_t)} \quad (10)$$

که در آن نسبت بهینه پوشش ریسک حداکثر کننده
واریانس با تخمین OLS ضریب به دست می‌آید.
همانگونه که مشخص است برای استفاده از روش
حداکثر مربعات معمولی باید فرض استاندارد کلاسیک
برقرار باشد که لازم است بررسی شوند.

می‌یزد و تامسون (۱۹۸۹)[۱۹] نتایج الگوی OLS
را بررسی کردند و اشاره کردند مقادیر پسماند این
الگوها، خودهمبستگی سریالی دارد؛ درنتیجه، الگوی
VAR را به شکل روابط (۱۱) و (۱۲) توسعه دادند.

$$\ln S_t = C_s + \sum_{i=1}^l \ln S_{t-i} + \sum_{i=1}^l \ln F_{t-i} + \epsilon_t \quad (11)$$

$$\Delta \ln F_t = C_f + \sum_{i=1}^l \ln S_{t-i} + \sum_{i=1}^l \ln F_{t-i} + \epsilon_f \quad (12)$$

که در آن C_s و C_f مقادیر عرض از مبدأ معادلات
و ϵ_t ، ϵ_f ضرایب رگرسیونی و ϵ_{st} ، ϵ_{ft} اجزای اخلال و l نیز تعداد وقفه بهینه است. اکنون
اگر $\text{Cov}(\epsilon_{st}, \epsilon_{ft}) = \text{Var}(\epsilon_{st}) = \text{Var}(\epsilon_{ft})$ باشد
مقدار نسبت بهینه پوشش ریسک حداکثر کننده واریانس
برابر خواهد شد با:

خرید در بازار نقدی و موضع معاملاتی فروش در بازار
آتی باشد، براساس روابط (۱) و (۲) می‌توان نوشت:

$$R_h = \frac{(S_{t_0} - S_{t_0}) N (F_{t_0} - F_{t_0})}{S_{t_0}} = R_s N \frac{F_{t_0}}{S_{t_0}} \frac{F_{t_0} - F_{t_0}}{F_{t_0}} = R_s h R_f \quad (3)$$

که در آن N تعداد قرارداد آتی و h نسبت پوشش
ریسک است. همچنین واریانس بازده سبد عبارت است
از:

$$\text{Var}(R_h) = \text{Var}(R_s) + h^2 \text{Var}(R_f) + 2h \text{Cov}(R_s, R_f) \quad (4)$$

با درنظر گرفتن این واقعیت که با کاهش واریانس،
کارایی پوشش ریسک افزایش می‌یابد، مشتق اول و
دوم $\text{Var}(R_h)$ نسبت به h عبارتند از:

$$\frac{\text{Var}(R_h)}{h} = 2h \text{Var}^2(R_f) + 2\text{Cov}(R_s, R_f) \quad (5)$$

$$\frac{\partial \text{Var}(R_h)}{\partial h} = 2\text{Var}^2(R_f) \quad (6)$$

با توجه به اینکه مشتق اول در رابطه (۶) بزرگ‌تر از
صفراست، با فرض اینکه مشتق اول در رابطه (۵) برابر
صفرا باشد، نسبت بهینه پوشش ریسک حداکثر کننده
واریانس h^* به صورت رابطه (۷) محاسبه می‌شود:

$$h^* = \frac{\text{Cov}(R_s, R_f)}{\text{Var}(R_f)} \quad (7)$$

بنابراین تعداد قرارداد آتی به کاررفته در رابطه (۳) را نیز
به شکل زیر می‌توان محاسبه کرد:

$$N = h^* \cdot \frac{S_{t_0}}{F_{t_0}} \quad (8)$$

هم‌اکنون با الگوهای اقتصادسنجی، نسبت بهینه
پوشش ریسک را می‌توان برآورد کرد.

در ادامه، سه الگو ارائه شده است که نسبت بهینه
پوشش ریسک را به صورت ایستا و ثابت در طول زمان
تخمین می‌زنند. این سه الگو عبارتند از: روش حداکثر
مربعات معمولی (OLS)، الگوی خودرگرسیونی

1 Vector Autoregressive (VAR)

2 Vector Error Correction Model (VECM)

هستند. ماتریس واریانس شرطی در دو مرحله به دست می‌آید: نخست یک الگوی گارچ برای هر واریانس شرطی انتخاب می‌شود و سپس براساس واریانس شرطی الگو شده، ماتریس کواریانس شرطی به شکل رابطه (۱۶) الگوسازی می‌شود:

$$H_t = D_t R D_t \quad (16)$$

که در آن R ماتریس همبستگی شرطی ثابت

$$\text{به شکل } \begin{matrix} & & 1 \\ & 1 & & 12 \\ & & 21 & & 12 \\ & & & 1 & \\ & & & & 1 \end{matrix}, \text{ ضریب همبستگی}$$

بین متغیرهای بازده آتی و بازده نقدی است و D_t ،

$$\text{ماتریس قطری به شکل } \begin{matrix} \sqrt{h_{11,t}} & 0 \\ 0 & \sqrt{h_{22,t}} \end{matrix} \text{ است که در}$$

آن، $h_{11,t}$ و $h_{22,t}$ واریانس‌های شرطی الگوی GARCH(1,1) هستند.

الگوی همبستگی شرطی پویا^۳ انگل (DCC_E) را انگل و شپارد^۴ (۲۰۰۱) معرفی کردند. الگوی DCC شبیه به الگوی CCC است؛ با این تفاوت که در آن همبستگی در طول زمان متغیر است [۸]. ماتریس کواریانس شرطی به صورت رابطه (۱۷) تعریف می‌شود:

$$H_t = D_t R_t D_t \quad (17)$$

در الگوی DCC، ماتریس قطری نوسان‌های (انحراف معیار) شرطی متغیر با زمان t مانند الگوی CCC است و از یک فرایند GARCH تک‌متغیره استخراج شده است که در بیان ماتریسی به شکل رابطه (۱۸) بازنویسی شدنی است.

$$D_t^2 = diag(a_{0,t}) \circ diag(a_{1,t}) \circ \dots \circ diag(b_{1,t}) \circ D_{t-1}^2 \quad (18)$$

که در آن (\circ) عملگری است که عناصر بر قطر اصلی را انتخاب می‌کند و \circ ، نشانه ضرب عضو در عضو (عضو در عضو متناظر) ماتریس‌ها در یکدیگر

$$h^* = \frac{sf}{ff} \quad (13)$$

انگل و گرنگر^۱ (۱۹۸۷) با مطالعه ساختار الگوی VAR مشاهده کردند که این الگو، همانباشتگی بین قیمت‌های نقدی و آتی را در نظر نمی‌گیرد [۷]. گوش (۱۹۹۳a) بر همین اساس، الگوی VECM را توسعه داد که در آن تعادل بلندمدت نیز به همراه رابطه کوتاه‌مدت در نظر گرفته می‌شود [۹].

$$\ln S_t = C_s + s Z_{t-1} + \sum_{i=1}^l si \ln S_{t-i} + \sum_{i=1}^l si \ln F_{t-i} + st \quad (14)$$

$$\ln F_t = C_f + f Z_{t-1} + \sum_{i=1}^l fi \ln S_{t-i} + \sum_{i=1}^l fi \ln F_{t-i} + ft \quad (15)$$

که در آن s و f ضرایب عبارت‌های تصحیح خطای هستند؛ بنابراین نسبت بهینه پوشش ریسک

حداقل کننده واریانس برابر با $\frac{sf}{ff} h^*$ خواهد بود.

با استفاده از الگوهای برآورد نرخ بهینه پوشش ریسک پویا، نسبت بهینه پوشش ریسک در طول زمان متغیر به دست می‌آید. برای این منظور، از الگوهای گارچ چندمتغیره استفاده شده است که اجازه می‌دهد واریانس‌ها و کواریانس‌ها در طول زمان تغییر کنند. در این پژوهش از میان حالات متعدد روش‌های گارچ چندمتغیره، روش‌های همبستگی شرطی ثابت، همبستگی شرطی پویای انگل و همبستگی شرطی پویای تز و تسو استفاده شده است.

الگوی همبستگی شرطی ثابت را (CCC) بولرسليو (۱۹۹۰) ارائه کرد [۳]. در این الگو، ماتریس واریانس شرطی H_t با ماتریس واریانس شرطی و ماتریس همبستگی شرطی به طور جداگانه الگوسازی می‌شود. در این الگو، همبستگی‌های شرطی ثابت؛ اما واریانس‌ها و به تبع آن کواریانس‌های شرطی متغیر در زمان

3 Dynamic Conditional Correlation GARCH (DCC-GARCH)

4 Engle and Sheppard

1 Engle and Granger

2 constant conditional correlation GARCH (CCC-GARCH)

مشخص است پس از تخمین عناصر ماتریس H ، نسبت بهینه پوشش ریسک با عبارت (۲۴) تخمین زده می‌شود:

$$h^* = \frac{h_{sf,t}}{h_{ff,t}} \quad (24)$$

همانگونه که مشاهده می‌کنید نسبت بهینه پوشش ریسک از تقسیم کواریانس شرطی بین قیمت‌های آتی و نقدی الگو به واریانس شرطی قیمت‌های آتی الگو محاسبه می‌شود.

برای مقایسه نسبت بهینه پوشش ریسک به دست آمده از روش‌های مختلف، کارایی آنها با یکدیگر مقایسه می‌شود. متداول‌ترین روش برای محاسبه کارایی پوشش ریسک، مقایسه ریسک سبد مالی پوشش داده شده و بدون پوشش است. این معیار را ادرینگتون (۱۹۷۹) به صورت رابطه (۲۵) ارائه کرد [۶]:

$$He = 1 - \frac{Var(H)}{Var(U)} \quad (25)$$

که در آن (U) واریانس سبد قبل از پوشش ریسک و (H) واریانس سبد بعد از پوشش ریسک است.

داده‌های استفاده شده در این پژوهش به معاملات نقدی و آتی سکه تمام بهار آزادی طرح جدید از ۱۷۵۸ تا ۱۳۹۴/۰۳/۱۱، به تعداد ۱۳۸۷/۰۹/۰۵ تا ۱۳۹۴/۰۳/۱۱ داده مربوط است. قیمت‌های نقدی سکه بهار آزادی از بانک مرکزی جمهوری اسلامی ایران و قیمت‌های آتی از آمار معاملات قراردادهای آتی سکه بورس کالای ایران دریافت شد.

معاملات آتی در بورس کالای ایران از مورخ ۱۳۸۷/۰۹/۰۵ راه‌اندازی شد و هم‌اکنون برای سرسیدهای دو، چهار، شش و هشت ماهه معامله شدنی است. در این مطالعه از قیمت‌های سه سرسید نخست به عنوان قیمت‌های آتی استفاده می‌شود. منظور از اولین

است. همچنین $D_t^{-1} U_t$ است. تنها تفاوت الگوی CCC و DCC در متغیر بازمان بودن ماتریس همبستگی شرطی پسمندانها یعنی R_t است.

چندین روش برای به دست آوردن پارامتر R_t وجود دارد که یکی از آنها روش هموارسازی نمایی انگل در سال ۲۰۰۲ است.

$$Q_t = (1 - \bar{Q}) (u_t u_t') Q_{t-1} \quad (19)$$

ماتریس \bar{Q} یک ماتریس همبستگی غیرشرطی متقارن $N \times N$ از پسمندانهای استاندارد شده

$$U_{it} = \frac{\bar{h}_{itt}^{it}}{\sqrt{h_{itt}}} \quad \text{است.}$$

$\bar{Q} = Cov(u_t u_t') - E[u_t u_t']$ و پارامترهای اسکالر غیر منفی هستند که شرط $1 > +$ را برقرار می‌کنند.

$$R_t = diag(Q_t)^{\frac{1}{2}} Q_t diag(Q_t)^{\frac{1}{2}} \quad (21)$$

الگوی همبستگی شرطی پویای تز و تسو (DCC_T) را تز و تسو^۱ (۲۰۰۲) ارائه کردند. ماتریس همبستگی به شکل معادله (۲۲) تعریف می‌شود [۲۳].

$$R_t = (1 - R_{t-1}) \bar{R}_{t-1} R_{t-1} \quad (22)$$

که در آن 1 و 2 پارامترهای نامنفی هستند که در شرط $1 > + \theta_1$ صدق می‌کنند و ماتریس \bar{R} یک ماتریس همبستگی غیرشرطی متقارن و مثبت با ابعاد $N \times N$ است که عناصر بر قطر اصلی آن 1_{ii} نیز یک ماتریس همبستگی از t ها در بازه $M, t = M - 1, \dots, t - 1$ است که به صورت رابطه (۲۳) تعریف می‌شود.

$$\frac{u_{i,t-m} u_{j,t-m}}{\sqrt{(\sum_{m=1}^{M-1} u_{i,t-m}^2)(\sum_{m=1}^{M-1} u_{j,t-m}^2)}} \quad (23)$$

که در آن $U_{it} = \frac{\bar{h}_{itt}^{it}}{\sqrt{h_{itt}}}$ است.

به گونه‌ای که در دومین سرسید ۱۴۲۷ داده و در سومین سرسید ۶۲۰ داده استفاده شده وجود دارد.

بازده قیمت‌های آتی و نقدی برای دامنه‌های روزانه و هفتگی محاسبه شده است. دلیل استفاده از دامنه‌های مختلف بازده، افزایش همبستگی بین بازده‌های نقدی و آتی با افزایش دامنه بازده است؛ به گونه‌ای که همبستگی بین بازده‌های نقدی و آتی هفتگی بیشتر از همبستگی بین بازده‌های نقدی و آتی روزانه است. موفقیت یک استراتژی پوشش ریسک به همبستگی بین دو سری زمانی نقدی و آتی بستگی دارد. هرچه این همبستگی بیشتر باشد، موفقیت بیشتر و دراصل‌تلاحم، کارایی بیشتر است. این مطلب را با توجه به فرمول زیر می‌توان استنباط کرد:

$$Var(R_h) - Var(R_s)(1 - \frac{2}{R_s, R_f}) \quad (46)$$

این فرمول که از جایگذاری رابطه‌های (۷) و (۴) در یکدیگر به دست آمده است، نشان می‌دهد با افزایش همبستگی بازده نقدی و آتی واریانس سبد سرمایه‌گذاری پوشش داده شده (که به عنوان معیار ریسک در نظر گرفته شده است) کاهش و کارایی پوشش ریسک افزایش می‌یابد. مهم‌ترین خصوصیات آماری بازده‌های قیمت‌های آتی و نقدی در جدول (۲) ارائه شده است.

سررسید قرارداد آتی، نزدیک ترین قرارداد آتی به زمان
حال است؛ برای مثال، فرض کنید در حال حاضر در
تاریخ ۱۳۹۳/۰۷/۲۰ قرار داریم. در این تاریخ، چهار
قرارداد آتی با سررسیدهای آبان ۹۳، دی ۹۳، اسفند ۹۳
و اردیبهشت ۹۴ وجود دارد که قیمت‌های آتی آنها
به ترتیب، قیمت‌های آتی اولین، دومین، سومین و
چهارمین سررسید قرارداد آتی در نظر گرفته می‌شود. با
رسیدن به تاریخ ۲۵ آبان ۹۳ که زمان سررسید قرارداد
آتی آبان ماه ۹۳ است، این قرارداد منقضی می‌شود و از
این پس، قرارداد آتی دی ماه ۹۳ به عنوان نخستین
سررسید، قرارداد آتی اسفند ۹۳ به عنوان دومین
سررسید و قرارداد آتی اردیبهشت ۹۴ به عنوان سومین
سررسید در نظر گرفته می‌شود. دلیل استفاده از سه
سررسید نخست قرارداد آتی در این پژوهش آن است
که بررسی تعداد معاملات انجام شده بر قراردادهای آتی
مدّنظر در بورس کالای ایران نشان می‌دهد
به طور معمول قراردادهای با سررسید طولانی‌تر در
مقایسه با سررسیدهای نزدیک‌تر با استقبال بیشتری
مواجه می‌شوند؛ اما به دلیل نوپابودن قراردادهای آتی و
وجود صرفاً یک سررسید در ماه‌های نخست راهاندازی
قراردادهای آتی در بورس کالای ایران، تعداد داده‌های
استفاده شده در سررسیدهای طولانی، تر کاهش می‌یابد؛

جدول (۱) خصوصیات آماری بازده‌های آتی و نقدی

قرارداد آتی						نقدی						
بازده هفتگی			بازده روزانه			بازده هفتگی			بازده روزانه			
سومین سررسید	دومین سررسید	اولین سررسید	تعداد مشاهدات									
۶۲۰	۱۴۲۷	۱۷۵۸	۶۲۰	۱۴۲۷	۱۷۵۸	۶۲۰	۱۴۲۷	۱۷۵۸	۶۲۰	۱۴۲۷	۱۷۵۸	تعداد مشاهدات
-۰/۶۲۸۴	۰/۶۲۲۵	۰/۶۰۷۵	-۰/۱۲۹۸	۰/۰۱۰۵	۰/۰۱۰۹	-۰/۰۳۰۳۱	۰/۶۱۰۷	۰/۶۰۵۵	-۰/۰۴۹۱	۰/۱۰۴۴	۰/۱۰۲۹	میانگین
-۰/۵۳۲۰	۰/۲۱۵۹	۰/۲۸۴۳	-۰/۱۵۵۰	-۰/۰۱۰۴	۰	-۰/۰۷۲۵	۰/۲۱۰۰	۰/۲۵۹۸	-۰/۰۱۰۸	-۰/۰۱۷۵	۰	میانه
۱۴/۲۵۴۹	۲۷/۱۴۶۹	۲۶/۴۰۷۳	۴/۹۶	۷/۴۸	۷/۷۱	۱۲/۰۵۹۳	۴۸/۶۱۸۴	۴۸/۶۱۸۴	۷/۲۹	۲۵/۹۴۹۴	۲۵/۹۴۹۴	حداکثر
-۱۵/۷۷۷۲	-۱۵/۳۰۰۸	-۱۴/۳۲	۵-	۵-	۵-	-۱۵/۴۹۸۱	-۱۷/۰۳۰۳۵	-۱۷/۰۳۰۳۵	-۵/۹۳	-۲۰/۴۳۵۲	-۲۰/۴۳۵۲	حداقل
۴/۰۲۹۱	۴/۵۷۸۸	۳/۹۹۵۵	۱/۳۸۸۴	۱/۵۷۴۹	۱/۴۳۳۶	۲/۹۴۰۲	۴/۳۶۲۱	۴/۰۱۹۶	۱/۲۳۴۰	۱/۹۰۴۸	۱/۷۴۴۵	انحراف معیار
۰/۳۱۸	۰/۶۷۵۱	۰/۷۹۸۲	۰/۲۲۲	۰/۱۸۶۷	۰/۱۸۸۵	-۰/۶۲۶۹	۲/۱۹۲۷	۲/۲۸۸۴	۰/۲۸۶۱	۱/۵۷۷۹	۱/۶۸۷۶	چولگی
۵/۵۸۴۵	۶/۰۴۵۷	۷/۲۵۸۵	۵/۶۹۴۲۴	۴/۷۰۸۳	۵/۴۷۵۵	۶/۷۸۶۰	۲۱/۰۸۰۳	۲۳/۷۸۲۵	۸/۷۴۰۹	۴۲/۶۹۸۵	۴۹/۲۸۶۴	کشیدگی
۱۸۱	۶۵۷	۱۵۱۰	۱۹۰	۱۸۱	۴۵۸	۴۰۷	۲۰۴۹۴	۳۳۰۵۹	۸۵۲	۹۳۹۰۰	۱۵۷۷۲۹	آماره چارک-برای

یافته‌ها

به صورت ثابت در طول زمان تخمین می‌زنند؛ در حالی که نسبت بهینه پوشش ریسک تخمین زده شده با روش‌های گارچ چندمتغیره از قبیل-BEKK-GARCH در DCC-GARCH و CCC-GARCH، GARCH زمان متغیر است و نتیجه آن به صورت یک سری زمانی حاصل می‌شود.

پیش از تخمین لازم است ریشه واحد بودن سری‌های زمانی نقدی و آتی بررسی شود. نتایج آزمون دیکی-فولر در جدول (۳) نشان می‌دهد قیمت‌های نقدی و آتی پایا نیست؛ ولی بازده‌های نقدی و آتی در دامنه‌های روزانه و هفتگی پایا است.

در این بخش، نسبت بهینه پوشش ریسک با استفاده از روش‌های مختلف اقتصادسنجی و تحلیل نتایج به دست آمده تخمین زده خواهد شد. نسبت بهینه پوشش ریسک حداقل کننده واریانس با ۶ روش اقتصادسنجی OLS، VAR، VECM، CCC-GARCH، DCC-GARCH انگل و DCC-GARCH، GARCH تزویج شد. سه روش نخست یعنی ۱۴۲۷ (اولین سررسید) ۱۷۵۸ (دومین سررسید) و ۶۲۰ (سومین سررسید) که هر کدام در دامنه‌های بازده روزانه و هفتگی محاسبه شده‌اند، برآورد خواهد شد که از میان این روش‌ها، سه روش نخست یعنی VECM و VAR نسبت بهینه پوشش ریسک را

جدول (۲) نتایج آزمون ریشه واحد دیکی-فولر بر قیمت‌های نقدی و آتی

مقدار	سناریوهای زمانی						
	آماره		آماره		آماره		
	آتی	نقدی	آتی	نقدی	آتی	نقدی	
بدون عرض از مبدا و روند	۰/۴۷۵۱	۰/۴۴۶۴	۰/۲۹۰۱	۰/۳۰۰۳	۰/۸۹۹۵	۱/۲۲۳۸	قیمت
	-۳۰/۳۸۸۵	-۳۲/۹۵۹۹	-۲۶/۹۷۸۷	-۲۹/۹۰۳۲	-۲۰/۵۵۳۶	-۲۴/۱۵۵۳	بازده روزانه
	***	***	***	***	***	***	
	-۵/۹۷۶۵	-۷/۸۴۱۵	-۶/۶۹۵۸	-۷/۰۳۶۰	-۵/۶۳۷۷	-۵/۹۹۸۵	بازده هفتگی
	***	***	***	***	***	***	
عرض از مبدا	-۱/۲۸۴۳	-۱/۲۹۵۸	-۱/۷۰۷۲	-۱/۶۹۴۱	-۰/۹۲۰۶	۰/۰۱۴۱	قیمت
	-۳۰/۳۸۳۹	-۳۳/۱۴۹۵	-۲۶/۶۷۰۸	-۳۰/۰۴۹۵	-۲۰/۶۸۷۶	-۲۴/۱۷۳۷	بازده روزانه
	**	**	**	**	**	**	
	-۶/۲۳۶۶	-۸/۰۷۲۵	-۶/۶۹۵۸	-۷/۱۹۴۷	-۵/۶۷۴۸	-۶/۱۲۲۶	بازده هفتگی
	**	**	**	**	**	**	
عرض از مبدا و روند	-۱/۱۱۹۵	-۱/۱۳۲۹	-۱/۲۴۸۹	-۱/۲۶۸۲	-۱/۵۵۵۸	-۰/۸۶۴۲	قیمت
	-۳۰/۴۳۳۶	-۴۳/۲۱۶۲	-۲۶/۷۷۷۸	-۳۰/۱۸۱۴	-۲۰/۷۰۴۷	-۲۴/۲۰۹۰	بازده روزانه
	**	**	**	**	**	**	
	-۶/۳۷۲۶	-۸/۱۸۴۰	-۶/۸۸۹۵	-۷/۳۶۴۰	-۵/۷۴۶۱	-۶/۳۴۱۴	بازده هفتگی
	**	**	**	**	**	**	

** نشان دهنده معنی داری در سطح٪ ۱ می‌باشد.

نتایج تخمین نسبت بهینه پوشش ریسک به روش OLS در جدول (۴) آورده شده است.

جدول (٣) نتایج تخمین OLS نسبت بهینه پوشش ریسک

اولین سررسید (۱۷۵۸ داده)		دومین یوررسید (۱۴۲۷ داده)		سومین یوررسید (۶۲۰ داده)		سناریوهای زمانی مقادیر	
دامنه هفتگی	دامنه روزانه	دامنه هفتگی	دامنه روزانه	دامنه هفتگی	دامنه روزانه	دامنه روزانه	
۰/۱۲۶	۰/۰۹۵	۰/۱۵۷	۰/۰۹۹	۰/۱۳۵-	۰/۰۱۵		β_1
۰/۷۹۹	۰/۵۸۵	۰/۷۴۳	۰/۵۸۵	۰/۵۸۱	۰/۵۰۳		β_2
۰/۰۰۰	۰/۰۰۰	۰/۰۰۰	۰/۰۰۰	۰/۰۰۰	۰/۰۰۰		$Prob(\beta^2)$
۰/۶۳۱	۰/۲۳۱	۰/۶۰۶	۰/۲۳۳	۰/۶۳۴	۰/۳۱۷	ضریب تعیین تغییل شده	

پوشش ریسک با روش VAR تعداد بهینه وقفه را با استفاده از معیار شوارتز تخمین زدیم. بدین ترتیب، برای اولین و دومین سررسید، تعداد دو وقفه و برای سومین سررسید یک وقفه در نظر گرفته می‌شود. با درنظر گرفتن تعداد وقفه‌های تعیین شده، نتایج تخمین نسبت بهینه پوشش ریسک در جدول (۵) ارائه شده است.

در جدول بالا، β_2 نشان دهنده نسبت بهینه پوشش ریسک است. نتایج آزمون های تشخیصی بر جملات خطای روش OLS نشان می دهد اغلب فروض استاندارد کلاسیک نقض شده اند که البته به دلیل تعداد نسبتاً زیاد مشاهدات، این موضوع صرفاً کارایی تخمین را کاهش می دهد و موجب تورش دارشدن نسبت بهینه پوشش ریسک نمی شود. برای تخمین نسبت بهینه

جدول (٤) نتایج تخمین VAR نسبت بهینه پوشش ریسک

نشان دهنده وجود یک برداد هم انباشتگی بین قیمت‌های نقدی و آتی است و بدین ترتیب یک الگوی تصحیح خطای (ECM) برای تخمین مناسب است. نتایج آزمون جوهانسون در جدول (۶) ارائه شده است.

پیش از تخمین نسبت بهینه پوشش ریسک با استفاده از روش VECM، لازم است وجود رابطه بلندمدت بین متغیرها را با استفاده از آزمون هم انباشتگی بررسی کنیم. نتایج آزمون جوهانسون،

جدول (۵) نتایج آزمون هم انباشتگی جوهانسون

سومین سرسید (۱۷۵۸)		دومین سرسید (۱۴۲۷ داده)		سومین سرسید (۶۲۰ داده)		سناریوی زمانی فرضیات
حداکثر مقدار ویژه	آماره اثر	حداکثر مقدار ویژه	آماره اثر	حداکثر مقدار ویژه	آماره اثر	
مقادیر آماره						
۱۴/۲۶	۱۵/۴۹	۱۴/۲۶	۱۵/۴۹	۱۴/۲۶	۱۵/۴۹	فقدان بردار همجمعی
۳/۸۴	۳/۸۴	۳/۸۴	۳/۸۴	۳/۸۴	۳/۸۴	حداقل یک بردار همجمعی

به روش VECM این است که به دلیل انباشت‌بودن دو متغیر از یک مرتبه، دیگر به استفاده از تفاضل متغیرها نیازی نیست و رابطه بلندمدت با وجود ریشه واحد بودن آنها با استفاده از خود متغیرها تخمین زده می‌شود.

در تخمین نسبت بهینه پوشش ریسک به روش VECM نیز مانند روش VAR مقادیر وقفه را با استفاده از معیار شوارتر (SC) به دست آورديم. نتایج تخمین نسبت بهینه پوشش ریسک با روش VECM در جدول (۷) نشان داده شده است. نکته در خور توجه در تخمین

جدول (۶) نتایج تخمین VECM نسبت بهینه پوشش ریسک

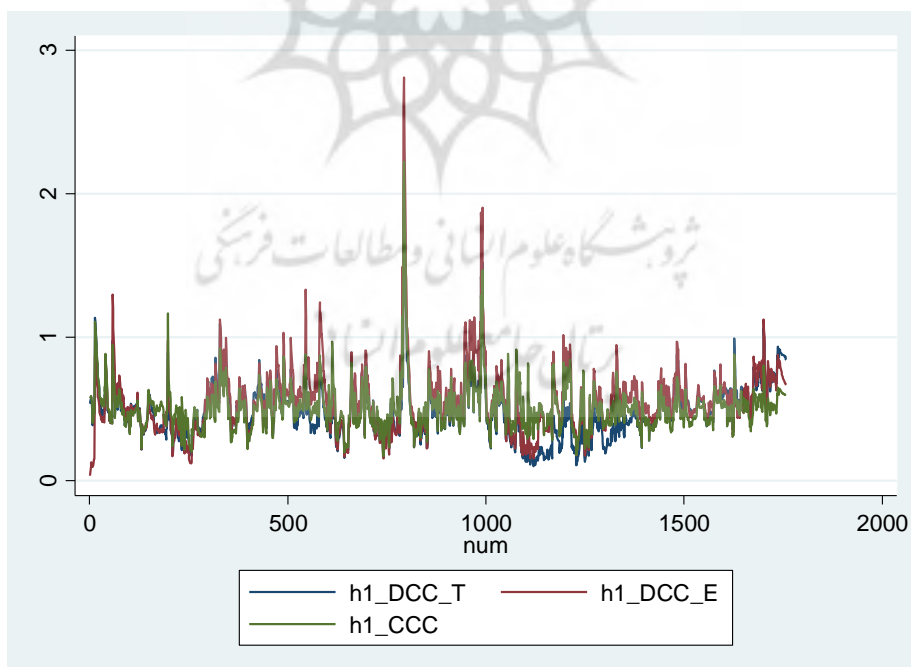
اولین سرسید (۱۷۵۸)		دومین سرسید (۱۴۲۷ داده)		سومین سرسید (۶۲۰ داده)		سناریوهای زمانی مقادیر
دامنه روزانه	دامنه هفتگی	دامنه روزانه	دامنه هفتگی	دامنه روزانه	دامنه هفتگی	
۰/۰۶۳۳ *	۰/۰۴۶۷	-۰/۱۱۴۸	-۰/۰۴۳۵	-۰/۱۲۶۸	-۰/۱۴۵۴	عرض از مبدا
-۱۳/۷۷۱۹ **	-۲/۶۲۰۸	-۶/۹۰۴۱ **	-۲/۸۴۴۶	-۱/۴۸۶۷	-۱/۴۶۴۶	ضریب عبارت تصحیح خطای
-۰/۴۴۸۸ **	۰/۴۸۰۱ **	-۰/۴۵۳۹ **	۰/۴۸۳۵ **	۰/۰۰۰۹	۰/۶۳۱۹ **	RS(-۱)
-۰/۱۴۳۷ **	۰/۱۱۶۸ **	-۰/۱۲۸۴ **	۰/۱۶۲۹ **	-۰/۱۵۵۳ **	۰/۰۷۳۸	RS(-۲)
۰/۷۴۷۷ **	۰/۶۳۰۵ **	۰/۷۶۵۲ **	۰/۶۶۵۸ **	۰/۰۴۶۴	۰/۴۷۷۴ **	RF(-۱)
۰/۲۳۰۰ **	-۰/۳۳۲۰ **	۰/۱۸۲۸ **	-۰/۴۲۷۵ **	۰/۰۴۱۷	-۰/۳۶۱۸ **	RF(-۲)
۰/۴۰۷۳	۰/۷۴۲۱	۰/۳۸۷۹	۰/۷۴۶۲	۰/۰۱۴۱	۰/۷۷۳۹	ضریب تعیین تبدیل شده
۰/۴۶۶۴	۰/۴۴۷۹	۰/۴۱۴۱	۰/۴۱۶۹	۰/۶۳۷۱	۰/۳۸۰۶	نسبت بهینه پوشش ریسک

به تمامی به کمک نرم افزار EViews8 انجام شده است. نسبت بهینه پوشش ریسک، در روش‌های OLS، VAR و VECM

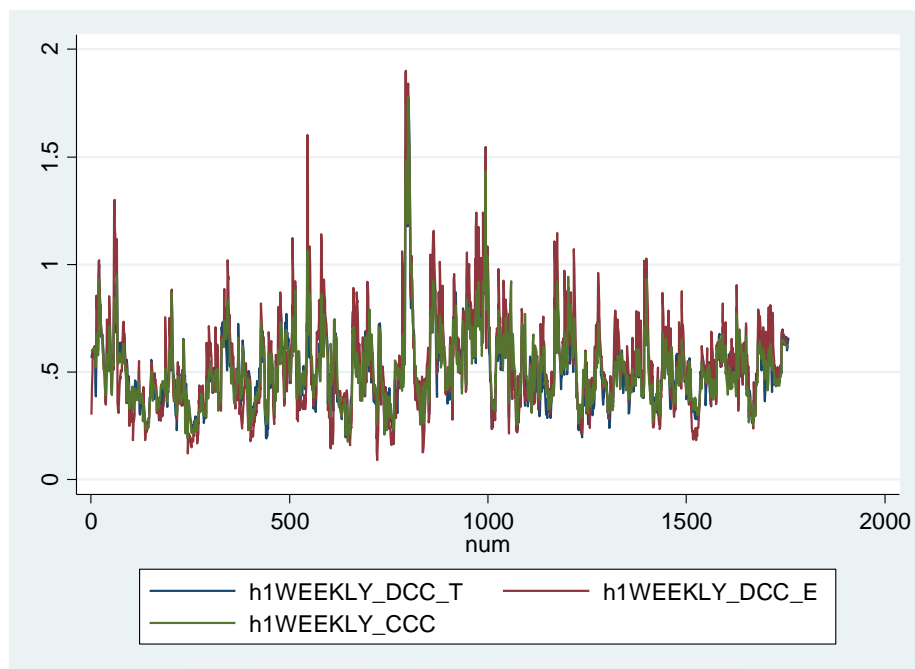
نتایج آزمون‌های انجام شده و تخمین نسبت بهینه پوشش ریسک در روش‌های OLS، VAR و VECM

تا ۶ ماه) تا سومین سررسید قرارداد آتی، حساسیت آنها به قیمت‌های نقدی کاهش یافته و خطای زیادی در الگو تأثیر گذاشته است. همچنین با مشاهده ضریب تعیین تعدیل شده در الگوهای مختلف مشخص می‌شود در تمام آنها ضریب تعیین تعدیل شده بازده‌های هفتگی به مراتب بیشتر از ضریب تعیین تعدیل شده بازده‌های روزانه است. این یافته تصدیق کننده فرض اولیه ما مبنی بر افزایش همبستگی بین بازده نقدی و آتی سکه طلا در بازده هفتگی نسبت به بازده روزانه است. نسبت بهینه پوشش ریسک با استفاده از روش‌های CCC-GARCH، DCC-GARCH و DCC-T تخمین زده شده و نتایج آن در نمودارهای (۴)، (۵)، (۶)، (۷)، (۸) و (۹) نمایش داده شده است.

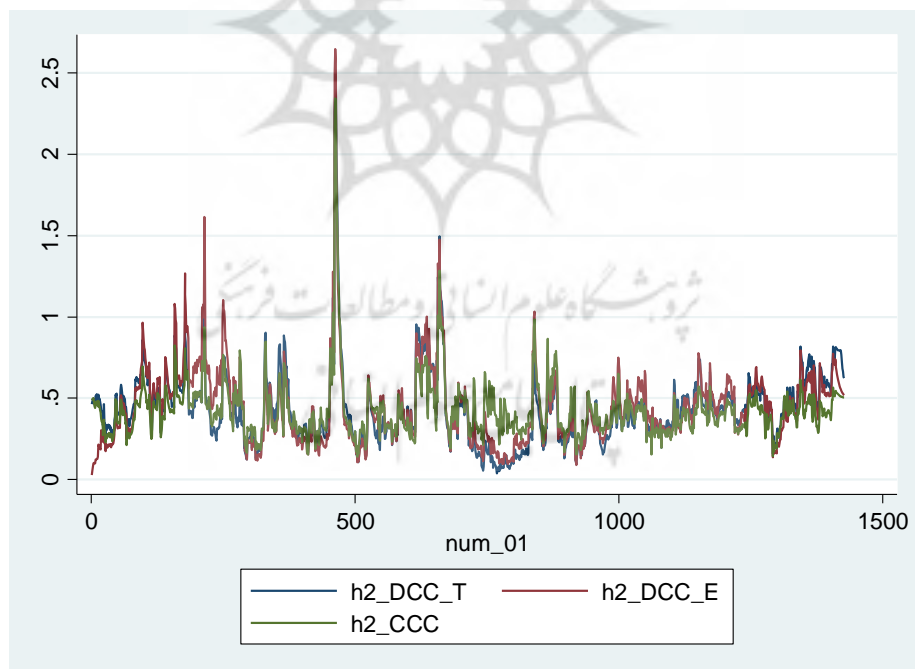
و VECM مقادیر ثابتی در زمان به دست آمده است. این نتایج نشان‌دهنده نکاتی است که در ادامه تشریح شده است. نتایج به دست آمده از سه روش اول نشان می‌دهد در سررسیدهای اول و دوم نسبت بهینه پوشش ریسک حاصل از بازده‌های هفتگی بیشتر از نسبت بهینه پوشش ریسک حاصل از بازده‌های روزانه است. دلیل این امر را به نوسان‌های بیشتر بازده هفتگی می‌توان نسبت داد. نتایج حاصل از تخمین نسبت بهینه پوشش ریسک برای سومین سررسید نشان می‌دهد در الگوی OLS نسبت پوشش ریسک هفتگی بیشتر از نسبت پوشش ریسک روزانه است؛ اما در الگوهای VAR و VECM خلاف این امر اتفاق افتاده است. با دقت در این نتایج مشخص می‌شود ضریب تعیین تعدیل شده برای نسبت پوشش ریسک بسیار کم است؛ بنابراین احتمال می‌رود به دلیل فاصله زمانی نسبتاً زیاد (حدود ۴



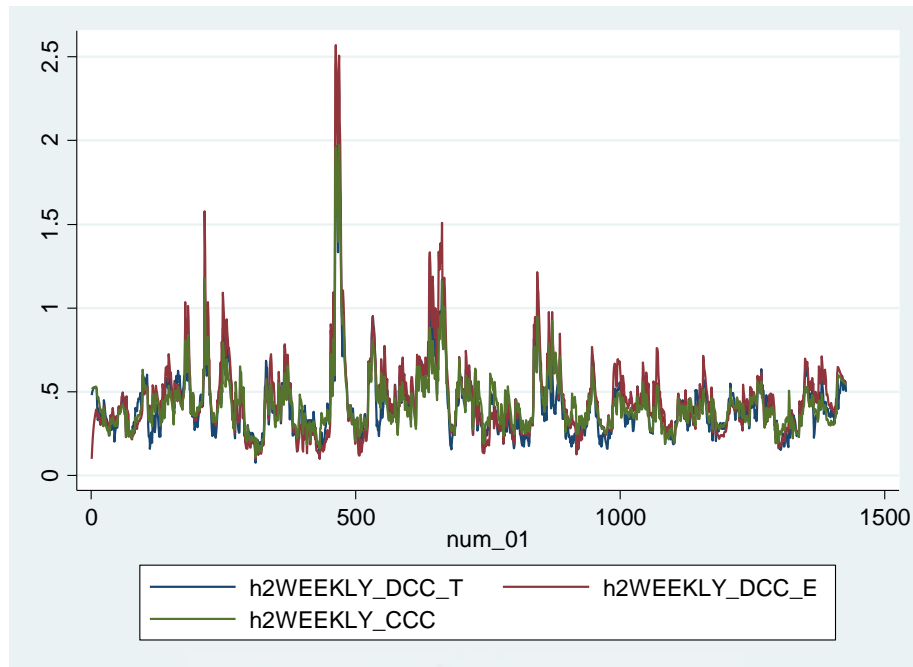
نمودار (۱) مقادیر نسبت بهینه پوشش ریسک با استفاده از روش‌های گارچ چندمتغیره برای اولین سررسید و بازده روزانه



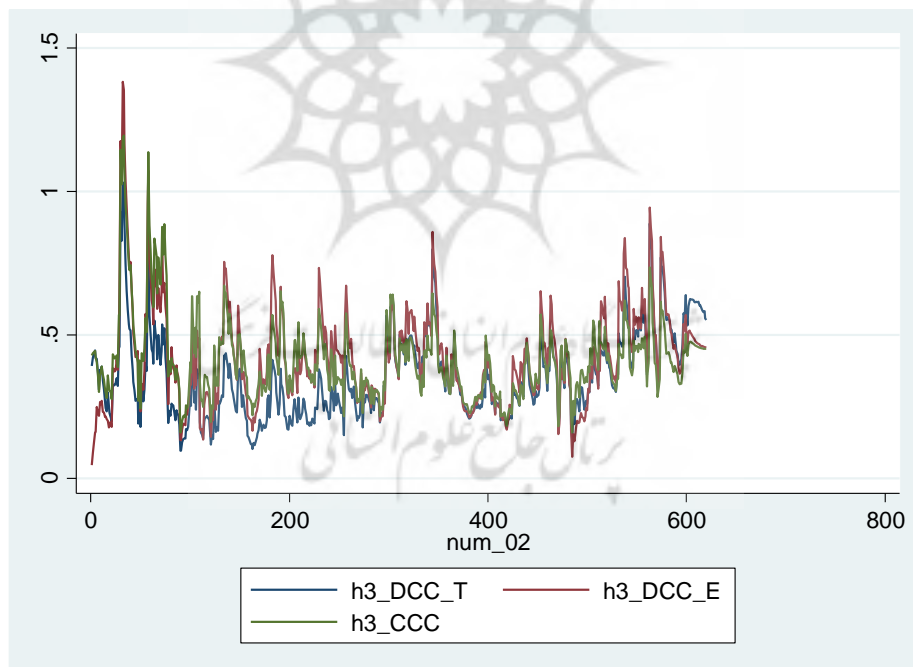
نمودار (۲) مقادیر نسبت بهینه پوشش ریسک با استفاده از روش گارچ چندمتغیره برای اولین سرسید و بازده هفتگی



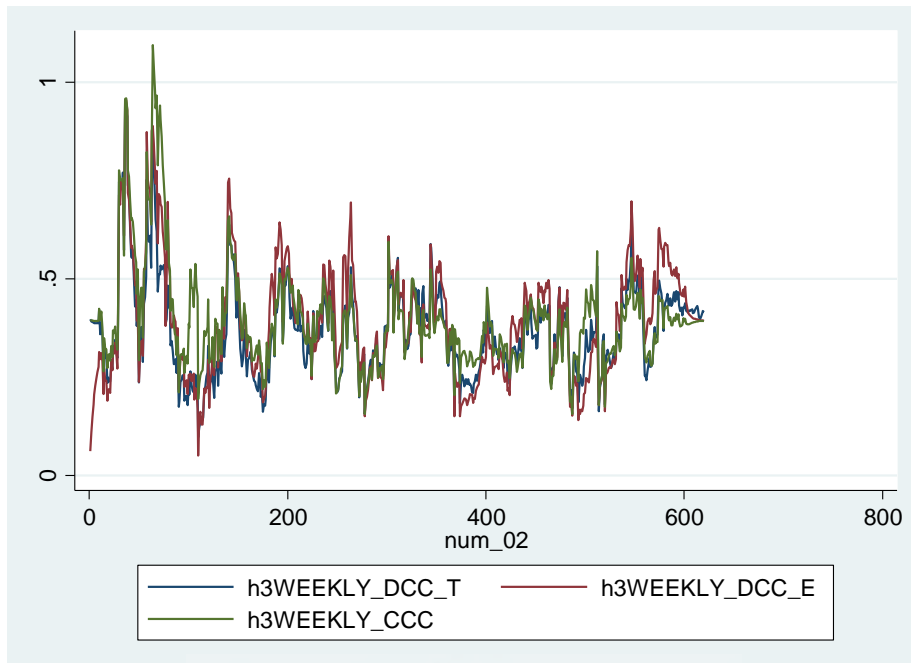
نمودار (۳) مقادیر نسبت بهینه پوشش ریسک با استفاده از روش گارچ چندمتغیره برای دومین سرسید و بازده روزانه



نمودار (۴) مقادیر نسبت بهینه پوشش ریسک با استفاده از روش گارچ چندمتغیره برای دومین سردسید و بازده هفتگی



نمودار (۵) مقادیر نسبت بهینه پوشش ریسک با استفاده از روش گارچ چندمتغیره برای سومین سردسید و بازده روزانه



نمودار (۶) مقادیر نسبت بهینه پوشش ریسک با استفاده از روش گارچ چندمتغیره برای سومین سرسید و بازده هفتگی

مهم‌ترین خصوصیات آماری نسبت‌های بهینه GARCH تزویج و تسو در جداول (۸) و (۹) ارائه شده است.

پوشش ریسک سرسیدهای مختلف با روش‌های DCC-GARCH، CCC-GARCH و انگل

جدول (۸) خصوصیات آماری نسبت‌های بهینه پوشش ریسک به دست آمده از روش‌های گارچ چندمتغیره با بازده روزانه

اولین سرسید روزانه (۱۷۵۸)			دومین سرسید روزانه (۱۴۲۷ داده)			سومین سرسید روزانه (۶۲۰ داده)			سناریوی زمانی مقادیر
H1-DCC-T	H1-DCC-E	H1_CCC	H2-DCC-T	H2-DCC-E	H2_CCC	H3-DCC-T	H3-DCC-E	H3_CCC	
۱۷۵۸	۱۷۵۸	۱۷۵۸	۱۴۲۷	۱۴۲۷	۱۴۲۷	۶۲۰	۶۲۰	۶۲۰	تعداد مشاهدات
۰/۵۰۴۳	۰/۵۳۴۷	۰/۵۱۰۴	۰/۴۵۲۲	۰/۴۶۲۳	۰/۴۳۲۴	۰/۳۵۶۵	۰/۴۲۳۶	۰/۴۱۵۱	میانگین
۰/۴۷۷۳	۰/۵۱۹۰	۰/۴۹۶۶	۰/۴۰۰۵	۰/۴۰۵۶	۰/۳۹۶۲	۰/۳۲۳۵	۰/۴۰۰۳	۰/۳۹۳۸	میانه
۱/۱۳۶۸	۱/۱۳۳۲۴	۱/۱۶۶۸	۲/۴۴۵۱	۲/۶۴۵۷	۲/۳۴۲۷	۱/۰۳۱۱	۱/۳۸۲۷	۱/۱۹۵۵	حداکثر
۰/۱۷۳۴	۰/۰۳۵۳	۰/۲۰۰۲	۰/۱۰۷	۰/۰۲۹۱	۰/۱۳۹۲	۰/۰۹۶۵	۰/۰۴۶۳	۰/۱۶۰۶	حداقل
۰/۱۵۴۱	۰/۱۹۸۶	۰/۱۳۸۴	۰/۲۴۷۴	۰/۲۸۹۸	۰/۲۱۹۰	۰/۱۴۹۳	۰/۱۷۵۸	۰/۱۴۴۱	انحراف معیار
۱۲۸/۵	۸۴/۹	۳۴۶/۵	۱۲۷۲۹/۷	۶۰۲۰/۰	۲۳۰۶۷/۲	۱۹۱/۵	۴۷۹/۷	۱۲۹۰/۷	آماره جارک-برا

جدول (۹) خصوصیات آماری نسبت‌های بهینه پوشش ریسک به دست آمده از روش‌های گارچ چندمتغیره با بازده هفتگی

اولین سررسید_هفتگی (۱۷۵۸ داده)			دومین سررسید_هفتگی (۱۴۲۷ داده)			سومین سررسید_هفتگی (۶۲۰ داده)			سازنده زمانی مقادیر
H1-DCC-T	H1-DCC-E	H1_CC_C	H2-DCC-T	H2-DCC-E	H2_CC_C	H3-DCC-T	H3-DCC-E	H3_CC_C	
۱۷۵۸	۱۷۵۸	۱۷۵۸	۱۴۲۷	۱۴۲۷	۱۴۲۷	۶۲۰	۶۲۰	۶۲۰	تعداد مشاهدات
۰/۴۸۹۹	۰/۴۹۰۴	۰/۴۸۴۵	۰/۴۴۳۷	۰/۴۶۷۹	۰/۴۴۱۰	۰/۳۶۷۵	۰/۳۹۲۰	۰/۳۹۶۰	میانگین
۰/۴۶۱۵	۰/۴۴۲۴	۰/۴۶۵۱	۰/۳۹۶۸	۰/۴۰۳۵	۰/۳۹۲۷	۰/۳۵۷۶	۰/۳۸۳۷	۰/۳۸۲۰	میانه
۱/۰۸۵۲	۱/۶۰۱۱	۱/۰۶۳۱	۱/۹۶۷۱	۲/۵۶۸۴	۱/۹۷۴۱	۰/۹۴۶۴	۰/۹۵۴۹	۱/۰۹۳۵	حداکثر
۰/۱۹۰۳	۰/۱۲۲۱	۰/۱۹۳۲	۰/۰۷۷۶	۰/۰۹۷۱	۰/۱۰۹۵	۰/۰۹۷۱	۰/۰۵۰۸	۰/۱۵۷۱	حداقل
۰/۱۵۷۳	۰/۲۱۰۰	۰/۱۴۶۳	۰/۲۴۷۸	۰/۳۲۰۴	۰/۲۳۱۵	۰/۱۱۹۲	۰/۱۴۷۵	۰/۱۳۰۸	انحراف معیار
۴۲/۲	۲۶۳/۷	۴۲/۵	۶۱۶۹/۳	۸۲۲۵/۲	۹۶۹۸/۰	۲۵۱/۱	۶۶/۷	۱۴۳۳/۸	آماره جارک-برا

بدون پوشش تنها شامل دارایی نقدی است؛ در حالی که سبد پوشش داده شده علاوه بر دارایی نقدی به میزان نسبت بهینه پوشش ریسک، موضع معاملاتی عکس در بازار قرارداد آتی نیز دارد. برای محاسبه کارایی لازم است دو دوره زمانی درون نمونه‌ای و بروون نمونه‌ای در نظر گرفته شود. بدین منظور، در هر یک از سررسیدهای زمانی تعداد ۲۰ داده آخر دوره را که به طور تقریبی معادل روزهای کاری یک ماه آخر دوره است، به عنوان داده‌های بروون نمونه‌ای انتخاب می‌کنیم. مشخص است در محاسبه کارایی بروون نمونه‌ای روش‌های ایستا از نسبت پوشش ریسک تخمین زده شده در داده‌های درون نمونه‌ای استفاده می‌شود؛ اما برای الگوهای پویای گارچ، این نسبت باید برای دوره زمانی بروون نمونه‌ای پیش‌بینی شود.

اطلاعات جدول‌های (۸) و (۹) نشان می‌دهد الگوی DCC-GARCH انگل میانگین نسبت بهینه پوشش ریسک نسبت به دو الگوی دیگر بیشتر برآورد شده است. همچنین به طور مشخص، مقادیر نسبت بهینه پوشش ریسک به دست آمده برای سررسید اول (طولانی‌ترین دوره زمانی با ۱۷۵۸ داده) بیشتر و برای سررسید اول (کوتاه‌ترین دوره زمانی با ۶۲۰ داده) کمتر از سایر مقادیر به دست آمده است؛ به عبارت دیگر، با افزایش دوره زمانی و افزایش نوسان‌های قیمت، مقادیر نسبت بهینه پوشش ریسک نیز افزایش یافته‌اند که این امر با توجه به ماهیت نسبت پوشش ریسک بدیهی به نظر می‌رسد.

برای محاسبه کارایی نسبت‌های پوشش ریسک محاسبه شده از روش‌های مختلف، دو سبد پوشش داده شده و بدون پوشش در نظر می‌گیریم. سبد

جدول (۱۰) مقایسه کارایی نسبت بهینه پوشش ریسک درون نمونه ای و بروون نمونه ای

اولین سررسید (۱۷۵۸ داده)				دومین سررسید (۱۴۲۷ داده)				سومین سررسید (۶۲۰ داده)				ستاریویی زمانی مقادیر	
بازده هفتگی		بازده روزانه		بازده هفتگی		بازده روزانه		بازده هفتگی		بازده روزانه			
برون نمونه ای	درون نمونه ای	برون نمونه ای	درون نمونه ای	برون نمونه ای	درون نمونه ای	برون نمونه ای	درون نمونه ای	برون نمونه ای	درون نمونه ای	برون نمونه ای	درون نمونه ای		
۰/۸۰۲۹	۰/۶۳۱۶	۰/۵۰۶۱	۰/۲۳۱۷	۰/۵۰۲۲	۰/۶۰۶۵	۰/۷۷۸۱	۰/۲۳۳۶	۰/۵۹۱۵	۰/۶۳۴۸	۰/۴۲۹۷	۰/۳۰۹۱	OLS	
۰/۶۶۳۱	۰/۵۰۸۸	۰/۴۳۴۱	۰/۲۱۹۵	۰/۵۹۴۰	۰/۴۸۹۳	۰/۲۶۸۴	۰/۲۱۱۹	۰/۵۲۴۱	۰/۵۵۸۶	۰/۴۸۵۸	۰/۲۸۲۴	VAR	
۰/۶۶۴۰	۰/۵۰۹۵	۰/۴۴۳۸	۰/۲۲۲۲	۰/۵۹۴۴	۰/۴۸۹۸	۰/۲۷۰۲	۰/۲۱۳۷	۰/۵۲۴۵	۰/۵۵۹۱	۰/۴۸۵۱	۰/۲۸۳۱	VECM	
۰/۳۴۱۵	۰/۳۴۱۵	۰/۲۹۶۶	۰/۲۹۶۶	۰/۲۴۰۰	۰/۲۴۰۰	۰/۲۱۴۱	۰/۲۱۴۱	۰/۲۹۶۳	۰/۲۹۶۳	۰/۳۰۱۲	۰/۳۰۱۲	CCC-GARCH	
۰/۳۶۳۳	۰/۳۶۵۴	۰/۴۲۲۲	۰/۳۵۱۴	۰/۲۷۰۵	۰/۲۷۱۴	۰/۳۴۲۰	۰/۲۸۱۶	۰/۴۱۸۱	۰/۲۷۹۶	۰/۳۱۴۲	۰/۳۱۳۰	DCC-GARCH	
۰/۳۶۵۶	۰/۳۴۳۴	۰/۶۰۹۳	۰/۲۷۷۸	۰/۲۱۹۸	۰/۲۳۴۸	۰/۴۶۱۸	۰/۲۲۷۱	۰/۳۲۸۳	۰/۲۵۲۱	۰/۴۹۳۶	۰/۲۲۳۴	VCC-GARCH	

تحلیلی درون نمونه ای و بروون نمونه ای را داشته است؛ اما در سررسید دوم در تحلیل درون نمونه ای روش VECM و در تحلیل درون نمونه ای روش OLS بیشترین کارایی را داشتند. این مطلب نشان دهنده نبود تطابق میان نتایج این پژوهش با پژوهش سجاد و طروسانیان است [۲۲].

نتایج و پیشنهادها

در این پژوهش، نسبت بهینه پوشش ریسک حداقل کننده واریانس برای قرارداد آتی سکه بهار آزادی مطالعه و سپس با بهره گیری از روش های ECT، VAR، OLS، VECM، CCC-GARCH، DCC-GARCH، DCC- GARCH، GARCH انگل، DCC انگل، GARCH تز و تسو، این نسبت محاسبه شد. نتایج نشان می دهد این نسبت در تمامی روش ها کمتر از یک به دست آمده است؛ درنتیجه، تعداد قرارداد آتی در سبد دارایی ها کمتر از تعداد قرارداد نقدی است و این به معنی هزینه کمتر نسبت به استراتژی پوشش ریسک ساده (نسبت بهینه پوشش ریسک برابر یک) است. نسبت پوشش ریسک تخمین زده شده با روش های VECM و VAR در زمان ثابت؛ ولی نسبت پوشش ریسک تخمین زده شده با روش های CCC-

نتایج نشان می دهد استفاده از قرارداد آتی تا حد زیادی واریانس بازده سبد را کاهش می دهد. با دقت در مقادیر گزارش شده در جدول (۱۰) مشخص می شود در بازده های روزانه، در داده های درون نمونه ای و بروون نمونه ای، روش های چند متغیره گارچ عموماً کارایی بیشتری را نسبت به روش های OLS، VAR و VECM به دست آورده اند. این نتایج تأیید کننده پژوهش بهرامی و میرزا پور باباجان است [۱۲]؛ به گونه ای که در پژوهش مذکور نیز روش های گارچ چند متغیره به غیر از یک مورد استثناء، تماماً کارایی بیشتری نسبت به روش های OLS، VAR و VECM داشتند. به طور مشخص، روش DCC انگل در داده های درون نمونه ای و در هر سه سررسید، بیشترین کارایی را دارد؛ اما در داده های بروون نمونه ای، روش DCC تز و تسو در هر سه سررسید، کارایی بیشتری دارد. در محاسبه کارایی برای بازده های هفتگی این معادله به نفع روش های OLS، VAR و VECM تغییر می کند؛ به گونه ای که در تمام سررسیدها و در تحلیل های درون نمونه ای و بروون نمونه ای روش های مذکور، کارایی بیشتری را نسبت به روش های گارچ حاصل می کنند. در بین سررسیدهای مختلف بازده های هفتگی، روش OLS در سررسیدهای اول و سوم، بیشترین کارایی در هر دو

- [6] Ederington, L. H. (1979). The hedging performance of the new futures markets. *The Journal of Finance*, 34(1), 157-170.
- [7] Engle, R. F., & Granger, C. W. (1987). Co-integration and error correction: representation, estimation, and testing. *Econometrica: Journal of the Econometric Society*, 251-276.
- [8] Engle, R. F., & Sheppard, K. (2001). Theoretical and empirical properties of dynamic conditional correlation multivariate GARCH: National Bureau of Economic Research.
- [9] Ghosh, A. (1993). Cointegration and error correction models: Intertemporal causality between index and futures prices. *Journal of Futures Markets*, 13(2), 193-198.
- [10] Ghosh, A. (1993). Hedging with stock index futures: Estimation and forecasting with error correction model. *Journal of Futures Markets*, 13(7), 743-752.
- [11] Howard, C. T., & D'Antonio, L. J. (1984). A risk-return measure of hedging effectiveness. *Journal of Financial and Quantitative Analysis*, 19(01), 101-112.
- [12] Bahrami, J., & Mirzapoor Babajan, A. (2013). Optimal hedge ratio for gold coin futures contracts traded in iran mercantile exchange (IME). *Journal of Economic Research and Policies*, 20(64), 175-206.
- [13] Johnson, L. L. (1960). The theory of hedging and speculation in commodity futures. *The Review of Economic Studies*, 139-151.
- [14] Junkus, J. C., & Lee, C. F. (1985). Use of three stock index futures in hedging decisions. *Journal of Futures Markets*, 5(2), 201-222.
- [15] Kahl, K. H., & Tomek, W. G. (1986). Forward-pricing models for futures markets: Some statistical and interpretative issues. *Food Research Institute Studies*, 20(1).
- [16] Lien, D., Shrestha, K., & Wu, J. (2016). Quantile estimation of optimal hedge ratio. *Journal of Futures Markets*, 36(2), 194-214.
- [17] Lien, D., Tse, Y. K., & Tsui, A. K. (2002). Evaluating the hedging performance of the constant-correlation GARCH model. *Applied Financial Economics*, 12(11), 791-798.

DCC-GARCH، GARCH انگل، DCC-GARCH تز و تسو در زمان متغیر هستند. همچنین برای افزایش همبستگی بین بازدههای آتی و نقدی علاوه بر بازده روزانه قیمت‌ها از بازده هفتگی نیز استفاده شده است. نتایج نشان می‌دهد با استفاده از بازده هفتگی قیمت‌ها، همبستگی بین بازدههای نقدی و آتی به طور در خور توجهی افزایش می‌یابد. همچنین تحلیل کارایی روش‌های مختلف نشان می‌دهد روش‌های گارچ چندمتغیره در بازده روزانه، عملکرد بهتری داشته؛ اما در بازدههای هفتگی، عملکرد روش‌های ایستا نسبت به روش‌های گارچ بهتر بوده است. با توجه به نتایج به دست آمده، به طور قطعی یکی از روش‌های محاسبه نسبت پوشش ریسک را نسبت به دیگری نمی‌توان بهتر دانست و لازم است فرد با درنظر گرفتن افق سرمایه‌گذاری و هزینه‌های معاملاتی اضافه‌ای تصمیم‌گیری کند که در صورت استفاده از روش‌های پویای گارچ به فرد تحمیل می‌شود.

منابع

- [1] Baillie, R. T., & Myers, R. J. (1991). Bivariate garch estimation of the optimal commodity futures hedge. *Journal of Applied Economics*, 6(2), 109-124.
- [2] Bollerslev, T. (1986). Generalized autoregressive conditional heteroskedasticity. *Journal of Econometrics*, 31(3), 307-327.
- [3] Bollerslev, T. (1990). Modelling the coherence in short-run nominal exchange rates: a multivariate generalized ARCH model. *The Review of Economics and Statistics*, 498-505.
- [4] Byström, H. N. (2003). The hedging performance of electricity futures on the Nordic power exchange. *Applied Economics*, 35(1), 1-11.
- [5] Copeland, L. S., & Zhu, Y. (2006). *Hedging effectiveness in the index futures market*: Cardiff Business School.

- conditional heteroscedasticity model with time-varying correlations. *Journal of Business & Economic Statistics*, 20(3), 351-362.
- [24] Wang, G.-J., Xie, C., He, L.-Y., & Chen, S. (2014). Detrended minimum-variance hedge ratio: A new method for hedge ratio at different time scales. *Physica A: Statistical Mechanics and its Applications*, 405, 70-79.
- [25] Wang, J., & Hsu, H. (2010). Hedge ratio stability and hedging effectiveness of time-varying hedge ratios in volatile index futures markets: Evidence from the Asian financial crisis*. *Asia-Pacific Journal of Financial Studies*, 39(5), 659-686.
- [26] Zhou, J. (2015). Hedging performance of REIT index futures: A comparison of alternative hedge ratio estimation methods. *Economic Modelling*.
- [18] Moosa, I. (2003). The sensitivity of the optimal hedge ratio to model specification. *Finance Letters*, 1(1), 15-20.
- [19] Myers, R. J., & Thompson, S. R. (1989). Generalized optimal hedge ratio estimation. *American Journal of Agricultural Economics*, 858-868.
- [20] Park, T. H., & Switzer, L. N. (1995). Bivariate GARCH estimation of the optimal hedge ratios for stock index futures: A note. *Journal of Futures Markets*, 15(1), 61-67.
- [21] Sah, A. N., & Pandey, K. K. (2011). Hedging effectiveness of index futures contract: The case of S&P CNX Nifty. *Global Journal of Finance and Management*, 3(1), 77-89.
- [22] Sajad, R., & Torosian, A. (2014). Exchange rate optimal hedge ratio by gold futures in Iran. *Journal of Investment Knowledge*, 3(12), 1-24.
- [23] Tse, Y. K., & Tsui, A. K. C. (2002). A multivariate generalized autoregressive

